

на точность определяемого пункта. Так, при равных углах засечки на разных длинах сторон S_1 и S_2 значения $M_{\text{пред}}$, равны (см. табл., графы 32, 34). Точность также мало зависит от угла за- сечки в интервале $30 \dots 150^\circ$. Так, при равенстве других параметров, но разных углах засечки, значения $M_{\text{пред}}$ практически равны между собой (см. табл., графы 12, 34).

Анализ результатов, приведенных в таблице, показывает, что точность положения пункта существенно зависит от длины начальной стороны, а также от соотношения длины этой стороны и величины соотношений $S_2 : S_1$. Величины $M_{\text{пред}}$ значительно различаются (см. табл., графы 12, 13).

Если наибольшая сторона превышает 4 км, то предвычисленная точность положения определяемого пункта практически при любых углах засечки не удовлетворяет требованиям триангуляции I разряда (см. табл., графы 24, 26, 33). По мере приближения определяемого пункта к исходным, точность его существенно повышается. В сетях, обозначенных знаком «**», погрешности положения пунктов не превышают допусков, установленных для сетей триангуляции I разряда [1].

Таким образом, для привязки пунктов обратной однократной гирокопической засечкой с точностью, удовлетворяющей триангуляции I разряда, необходимо выполнение следующих условий:

пределная ошибка дирекционного угла $\leq 5^\circ$;

наименьший угол при определяемом пункте 30° ;

максимальная длина стороны до исходного пункта 4 км.

Отношение наибольшей стороны до исходного пункта к исход-

ной стороне $\leq 1,2$.

1. Инструкция по топографической съемке в масштабах 1:5000, 1:2000, 1:1000 и 1:500. — М.: Недра, 1973. — 176 с. 2. Кузьмин Б. С., Литвинов Б. А. Руководство по геодезии: (Общие сведения и триангуляция). — М.: ВИА, 1961. — 722 с.

Статья поступила в редакцию 20.05.85

УДК 528.44

Р. Г. ПЛИПОК, Е. Ю. ИЛЬКИВ

ИССЛЕДОВАНИЕ УСТОЙЧИВОСТИ РЕПЕРОВ ВЫСОТНОЙ ОСНОВЫ МЕТОДОМ ПОСЛЕДОВАТЕЛЬНЫХ ПРИБЛИЖЕНИЙ

Обеспечение надежной эксплуатации сложных инженерных сооружений невозможно без достоверного установления их деформации и характеристик. Поэтому проблема надежного определения устойчивости реперов, составляющих высотную основу для исследований деформаций, несомненно актуальна.

В настоящее время геодезическая практика располагает значительным числом методов исследований, однако, как показано в [1, 3], достоверные результаты исследований достигаются лишь в частных случаях. Причиной является вырожденность матрицы нормальных уравнений, что приводит к множеству решений, удовлетворяющих исходную систему уравнений. Наиболее целесоб- разно решить эту проблему путем использования псевдообратных матриц по методике, предложенной в [2]. Решение, получае- мое по той методике,

$$H^0 = (A^T P A)^+ A^T P h, \quad (1)$$

обладает минимальной дисперсией и, по мнению автора [2], позволяет установить стабильность реперов.

В (1) H^0 — вектор искомых вертикальных смещений реперов; h — вектор разностей превышений, измеренных в исследуемых циклах; P — матрица весов разностей измеренных превышений; A — матрица коэффициентов уравнений поправок.

Оценку устойчивости выполняют по критерию

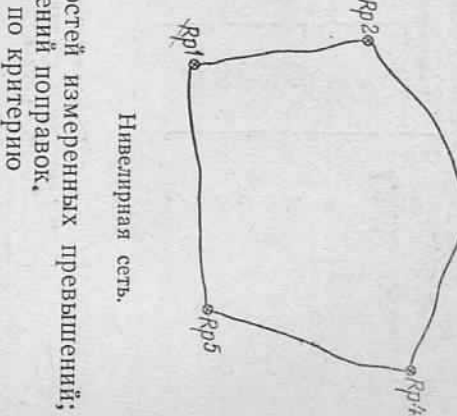
$$|H_i^0| < m_{i, \text{пред}} = 2\mu \sqrt{b_{ii}}, \quad (2)$$

где b_{ii} — диагональные элементы корреляционной матрицы вектора H^0 i -го репера; μ — средняя квадратическая ошибка единицы веса.

Анализ (1) показывает, что смещения H^0 определяются относительно горизонтальной плоскости отсчета, соответствующей псевдоботрантальной матрице $B^+ = (A^T P A)^+$ и расположенной на уровне средней отметки всех реперов сети. Таким образом, пространственное положение плоскости отсчета зависит от осадок каждого репера сети. Если допустить, что сеть состоит в основном из стабильных реперов, а смещения подвержены только отдельные из них, то смещения всех реперов H^0 , вычисленные от плоскости отсчета, определяемой псевдоботрантальной матрицей B^+ , будут искажены. Это положение является существенным недостатком данной методики и может привести к ошибочным выводам при исследовании стабильности реперов и, соответственно, к неверному определению деформаций инженерных сооружений.

Для подтверждения сказанного выше рассмотрим нивелирную сеть, представленную на рисунке.

Разности h превышений, измеренных в двух смежных циклах наблюдений, приведены в табл. 1, причем через h_0 обозначены исходные значения.



Нивелирная сеть.

Соответствующая этому смещению разность h обозначена в табл. 1 через h_i .

Решение, выполненное по формуле (1), определяет вектор вертикальных смещений реперов H^0 (табл. 2, графы 1 и 2).

Так как диагональные элементы b_{ii} матрицы B^+ — обратные веса определяемых смещений и в нашем примере равны 0,4, то,

вашем примере равны 0,4, то,

Таблица 1

Разности измеренных превышений

Номер репера	Разности измеренных превышений, мм			
	h_0	h_1	h_2	h_3
1	+0,4	+0,4	+0,4	+0,4
2	-0,1	+1,9	+4,9	+4,9
3	+0,5	-1,5	-4,5	-4,5
4	-0,6	+1,4	+4,4	+5,6
5	0,0	+2,0	-5,0	+5,0

Вертикальные смещения реперов и допустимые средние квадратические ошибки их определения. $s_3 = s_5 = +2$ мм

Таблица 2

Номер графы	Смещение реперов и оценка их стабиль- ности, мм	Репер				
		1	2	3	4	5
1	H^0	-1,1	-0,7	+1,2	-0,4	+1,0
2	$m_{\text{пред}}$	1,3	1,3	1,3	1,3	1,3
3	H^0	-	-	+1,7	-	-
4	$m_{\text{пред}}$	-	-	1,4	-	-
5	H^0	-0,8	-0,4	-	0,0	+1,2
6	$m_{\text{пред}}$	1,1	1,3	-	1,3	1,1
7	H^0	-	-	+1,7	-	+1,7
8	$m_{\text{пред}}$	-	-	1,4	-	1,4
9	H^0	-0,3	0,0	-	+0,3	-
10	$m_{\text{пред}}$	1,3	1,3	-	1,5	-
11	H^0	-0,5	-	+1,7	-	+1,5
12	$m_{\text{пред}}$	1,4	-	1,4	-	2,0
13	H^0	-0,4	-	+1,9	+0,3	+1,7
14	$m_{\text{пред}}$	1,8	-	1,8	2,2	2,2

приняв среднюю квадратическую ошибку единицы веса $\mu = 1$ и задавшись доверительной вероятностью 0,95, по формуле (2), находим допустимую среднюю квадратическую ошибку определяемого смещения $m_{\text{пред}} = 1,3$ мм.

По (2) устанавливаем, что все репера сети сохранили стабильность, и заданное смещение реперов этой методикой обнаружить

не удалось. Аналогичные результаты получены и при моделировании с другими, например заданными осадками.

Исследование устойчивости реперов высотной основы предлагаем выполнять, используя методику последовательных приближений, сущность которой состоит в следующем.

Получив по методике, основанной на формулах (1) и (2), смещения всех реперов и их оценки, определяем для них коэффициенты устойчивости реперов по формуле

$$K_i = \frac{m_{i \text{ пред}}}{H_i^0}. \quad (3)$$

Репер, для которого коэффициент K минимальен, проверяют на устойчивость при условии стабильности остальных $(n-1)$ реперов. Для этого составляют систему уравнений поправок следующего вида

$$AH^0 + l = v. \quad (4)$$

Матрицы A' , l , v' уравнения (4) состоят из подматриц соответственно A' и A'' , l' и l'' , v' и v'' . В развернутом виде (4) запишем так:

$$\begin{pmatrix} A' \\ A'' \end{pmatrix} H^0 + \begin{pmatrix} l' \\ l'' \end{pmatrix} = \begin{pmatrix} v' \\ v'' \end{pmatrix}. \quad (5)$$

Матрицы A' , l' и v' характеризуют условие стабильности системы из $(n-1)$ реперов, сети и их вид легко определить из системы $(n-1)$ -го линейного уравнения поправок, записанного для данной сети. В случае нестабильного репера с номером i имеем

$$\begin{aligned} H_i^0 - 0 &= v_1, \\ H_i^0 - 0 &= v_2, \\ &\dots \\ H_{i-1}^0 - 0 &= v_{i-1}, \\ H_{i+1}^0 - 0 &= v_{i+1}, \\ &\dots \\ H_n^0 - 0 &= v_n. \end{aligned} \quad (6)$$

Из (6) получим

$$A' = \begin{bmatrix} 1 & 0 & \dots & 0 & 0 & \dots & 0 \\ 0 & 1 & \dots & 0 & 0 & \dots & 0 \\ \dots & \dots & \dots & \dots & \dots & \dots & \dots \\ 0 & 0 & \dots & 1 & \dots & 0 & 0 \\ 0 & 0 & \dots & 0 & 1 & \dots & 0 \\ \dots & \dots & \dots & \dots & \dots & \dots & \dots \\ 0 & 0 & \dots & 0 & 0 & \dots & 1 \end{bmatrix}, \quad l' = \begin{bmatrix} 0 \\ 0 \\ \dots \\ 0 \\ 0 \\ \dots \\ 0 \end{bmatrix}, \quad v' = \begin{bmatrix} v_1 \\ v_2 \\ \dots \\ v_{i-1} \\ v_{i+1} \\ \dots \\ v_n \end{bmatrix}.$$

Матрица A'' равна исходной матрице коэффициентов уравнений поправок A , вектор l'' равен вектору разностей превышений h .

При введении в уравнение весов диагональным элементам P_i^q матрицы P' следует залавывать значения на несколько порядков выше.

Решая (4) при условии $[v^T P v] = \min$, получаем

$$\text{где } B = A^T P A; W = A^T P l. \quad (7)$$

Из (7) имеем

$$H^0 = B^{-1} W. \quad (8)$$

Так как $\det B \neq 0$, то (8) однозначно определяет вектор вертикальных смещений реперов относительно новой плоскости отсчета, определенной по отметкам реперов, которые в данном приближении принимались за устойчивые.

Выполнив оценку устойчивости реперов по (2), получим данные для последующего анализа стабильности реперной основы. В случае неустойчивости i -го репера из дальнейших вычислений его исключают. Затем по (1) и (2) с помощью критерия (3) из оставшихся ($n-1$) реперов определяют репер, который необходимо проверить на устойчивость при условии стабильности остальных пунктов. Проверку проводят по формулам (8) и (2). Количество приближений, которое необходимо выполнить при анализе, зависит от стабильности реперной основы и от количества реперов в ней. Оптимальный вариант достигается тогда, когда по результатам анализа устанавливают m таких устойчивых реперов, при дальнейших приближениях которых не удается выявить их смещения.

Рассмотрим пример использования предлагаемого способа. Из табл. 2 видно, что для репера $Rp3$ коэффициент устойчивости K минимальен. Вычислим смещение этого репера при условии стабильности 1, 2, 4, 5 пунктов. Для этого составим матрицы A' , l' , P' . Имеем

$$A' = \begin{pmatrix} 1 & 0 & 0 & 0 \\ 0 & 1 & 0 & 0 \\ 0 & 0 & 1 & 0 \\ 0 & 0 & 0 & 1 \end{pmatrix}, l' = \begin{pmatrix} 0 \\ 100 \\ 100 \\ 100 \end{pmatrix}, P' = \begin{pmatrix} 100 & & & \\ & 100 & & \\ & & 100 & \\ & & & 100 \end{pmatrix}.$$

Матрицы A'' , l'' и P'' имеют вид

$$A'' = \begin{pmatrix} -1 & +1 & 0 & 0 & 0 \\ 0 & -1 & +1 & 0 & 0 \\ 0 & 0 & -1 & +1 & 0 \\ +1 & 0 & 0 & 0 & -1 \end{pmatrix}, l'' = h_1 = \begin{pmatrix} +0.4 \\ +1.9 \\ -1.5 \\ +1.4 \\ -2.0 \end{pmatrix}, P'' = \begin{pmatrix} 1 & & & \\ 1 & 0 & & \\ 1 & & 1 & \\ 0 & 1 & & 1 \end{pmatrix}.$$

В результате решения системы уравнений получим смещение $Rp3$, которое превышает допустимую ошибку определения (см. табл. 2, графы 3 и 4), что свидетельствует о его неустойчивости.

Определим по методике [2] вертикальные смещения оставшихся четырех реперов, не принимая во внимание репер $Rp3$, и их допустимые ошибки.

Из табл. 2 видно, что минимальное значение коэффициента K имеет репер $Rp5$ (табл. 2, графы 5 и 6).

Результаты вычисленных смещений $Rp3$ и $Rp5$ при условии стабильности остальных реперов приведены в табл. 2 (графы 7, 8) и свидетельствуют о неустойчивости этих пунктов.

Затем опять по методике [2] определим смещения реперов $Rp1$, $Rp2$, $Rp4$ и их допустимые ошибки вычисления (табл. 2, графы 9 и 10).

Дальнейшие результаты вычислений по предлагаемой методике приведены в табл. 2 (графы 11—14).

Из них следует, что реперы $Rp3$ и $Rp5$ получили смещения $+1.7$ мм при допустимой ошибке их определения 1,4 мм. Пункты $Rp1$, $Rp2$, $Rp4$ стабильны.

Зададим новые значения смещений для реперов сети (см. рис. 1) $s_3 = s_5 = +5.0$ мм и $s_3 = +5.0$; $s_5 = -5.0$ мм. Разности измеренных смещений, соответствующие этим смещениям, обозначены h_2 , h_3 и приведены в табл. 1.

Выполняя вычисления по предлагаемой методике, получаем для первого варианта заданных смещений $s_3 = +4.7$ мм, $s_5 = +4.7$ мм при средней квадратической ошибке их определения 0,7 мм; для второго варианта заданных смещений $s_3 = +4.7$ мм, $s_5 = -5.3$ мм при средней квадратической ошибке их определения 0,7 мм.

Как следует из полученных результатов, предлагаемая методика анализа стабильности реперов высотной основы позволяет с большой надежностью характеризовать не только устойчивость отдельных пунктов, но и определять их смещение, что имеет важное значение в инженерной практике.

1. Ганички В. Н., Стороженко А. Ф. Измерение вертикальных смещений сооружений и анализ устойчивости реперов. — М.: Недра, 1981. — 215 с.
2. Рыбников И. Е. Уравнивание свободных сетей и задача контроля устойчивости высотной основы. — Изв. вузов. Геодезия и аэрофотосъемка. 1977, вып. 4, с. 70—78. 3. Федосеев Ю. Е. Анализ способов исследования устойчивости реперов высотной основы. — В кн.: Исследования по геодезии, картографии и аэрофотосъемке. М., 1977, с. 39—49.

Статья поступила в редакцию 29.01.85